

**Curso: Métodos Numéricos II**  
**Professor: Creto Augusto Vidal**  
**Semestre: 2020.1**  
**Aula # 25**

**1. Objetivo:** Solução Aproximada de Problemas de Valores Iniciais (PVI).

Nesta Aula, são apresentados os seguintes métodos:

- Métodos de passo simples (continuação): métodos de Runge-Kutta

**2. Solução aproximada de um problema de valor inicial**

A **solução aproximada** de um PVI parte da condição inicial e busca aproximações da solução da equação diferencial, isto é, aproximações de  $S(t)$ , em uma sequência de valores discretos da variável  $t$ .

Para resolver um PVI de forma aproximada, a descrição original do problema tem que ser transformada para o seguinte formato (EDO de primeira ordem)

$$(1) \text{ PVI: } \begin{cases} \frac{dS(t)}{dt} = \mathcal{F}(S(t), t), \\ S(t_0) = S_0 \end{cases},$$

onde  $S(t)$  é o estado do problema e  $S_0$  é o estado inicial do problema.

Portanto, partindo do ponto inicial, o estado do problema será obtido nos seguintes pontos:

$$(2) \text{ } S_0, S_1, S_2, S_3, S_4, \dots, S_{i-1}, S_i, S_{i+1}, \dots$$

onde  $S_i \approx S(t_0 + i \Delta t)$ .

**3. Métodos de Runge-Kutta**

Os métodos de Runge-Kutta são métodos explícitos de passo simples. Há várias maneiras de desenvolver a fórmula

$$(3) \text{ } S_{i+1} = G(S_i, \Delta t, L_p),$$

dos métodos de passo simples particularizadas para os métodos de Runge-Kutta.

Suponha que o problema (1) já tenha sido resolvido para os passos  $S_0, S_1, S_2, S_3, S_4, \dots, S_{i-1}, S_i$ . A equação diferencial ordinária na equação (1) pode ser reescrita na forma diferencial como

$$(4) \text{ } \frac{dS(t)}{dt} = \mathcal{F}(S(t), t) \Rightarrow dS = \mathcal{F}(S(t), t)dt.$$

Integrando-se os dois lados no intervalo  $[t_i, t_{i+1}]$ , tem-se

$$(5) \text{ } \int_{S_i}^{S_{i+1}} dS = \int_{t_i}^{t_{i+1}} \mathcal{F}(S(t), t)dt \Rightarrow S_{i+1} - S_i = \int_{t_i}^{t_{i+1}} \mathcal{F}(S(t), t)dt.$$

Logo, a expressão em (5) pode ser reescrita como

$$(6) \text{ } S_{i+1} = S_i + \int_{t_i}^{t_{i+1}} \mathcal{F}(S(t), t)dt.$$

A expressão (6) é uma maneira, ainda abstrata, de representar a expressão (3) dos métodos de passo simples. Para deixá-la menos abstrata, aplicam-se as fórmulas de **integração de Newton-Cotes** (veja Unidade 2 – Integração Numérica) à integral que aparece no lado direito de (6).

### 3.1 Método de Runge-Kutta de segunda ordem

Lembre-se que a Fórmula de Newton-Cotes fechada com polinômio de substituição de grau 1 é conhecida como Regra do Trapézio. Se ela for aplicada à integral na equação (6), tem-se

$$(7) \quad S_{i+1} = S_i + \int_{t_i}^{t_{i+1}} \mathcal{F}(S(t), t) dt \Rightarrow \mathbf{S_{i+1}} = S_i + \frac{\Delta t}{2} (\mathcal{F}(S_i, t_i) + \mathcal{F}(\mathbf{S_{i+1}}, t_{i+1})).$$

Note, que, no formato da equação (7), o método **seria implícito**. No entanto, a fórmula (7) será escrita de uma maneira ligeiramente modificada para que o método **seja considerado explícito**, isto é,

$$(8) \quad \mathbf{S_{i+1}} = S_i + \frac{\Delta t}{2} (\mathcal{F}(S_i, t_i) + \mathcal{F}(\bar{\mathbf{S}}_{i+1}, t_{i+1})).$$

A expressão (8) exige que seja usada uma estimativa  $\bar{\mathbf{S}}_{i+1}$ .

Suponha que a estimativa  $\bar{\mathbf{S}}_{i+1}$  seja obtida pelo método de Euler Explícito visto na Aula#24. Assim, a obtenção do estado no tempo  $t_{i+1}$  é feita em dois subpassos:

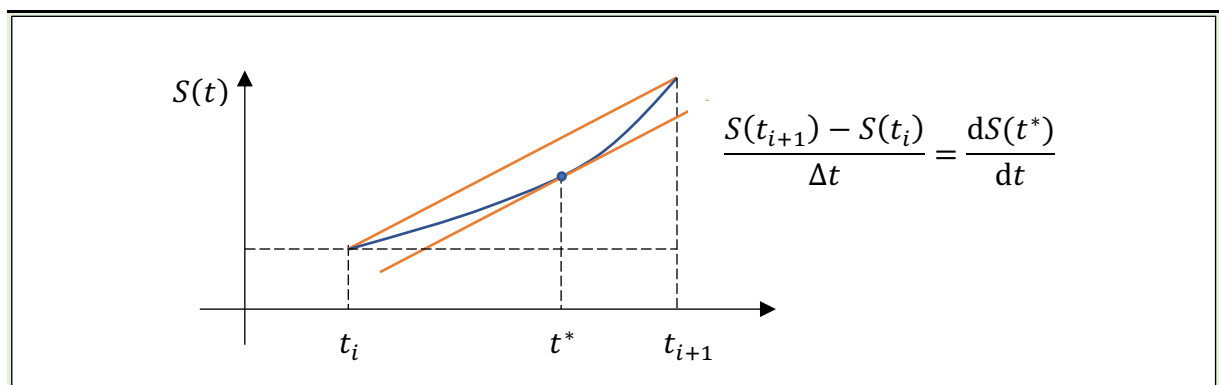
**P 1.1:** Estimativa grosseira do estado  $\mathbf{S_{i+1}}$

$$(9) \quad \bar{\mathbf{S}}_{i+1} = S_i + \Delta t \mathcal{F}(S_i, t_i);$$

**P 1.2:** Atualização melhorada do estado  $\mathbf{S_{i+1}}$

$$(10) \quad \mathbf{S_{i+1}} = S_i + \Delta t \left( \frac{1}{2} \mathcal{F}(S_i, t_i) + \frac{1}{2} \mathcal{F}(\bar{\mathbf{S}}_{i+1}, t_{i+1}) \right).$$

Sabendo-se que  $\mathcal{F}(S(t), t) = \frac{dS(t)}{dt}$  é a inclinação da reta tangente ao gráfico de  $S(t)$  no ponto  $t$ , a expressão (10) pode ser interpretada como uma tentativa de representar o teorema do valor intermediário, isto é,



**Teorema do valor intermediário:** Se  $S(t)$  for contínua, existe um ponto  $t^* \in [t_i, t_{i+1}]$  no qual a reta tangente à curva de  $S(t)$  tem a mesma inclinação da corda que liga  $S(t_i)$  a  $S(t_{i+1})$ .

Assim, o termo  $\left( \frac{1}{2} \mathcal{F}(S_i, t_i) + \frac{1}{2} \mathcal{F}(\bar{\mathbf{S}}_{i+1}, t_{i+1}) \right)$  representa a média das tangentes à curva de  $S(t)$  nos pontos  $t_i$  e  $t_{i+1}$ .

### 3.1.1. Aplicação do Método de Runge-Kutta de segunda ordem na solução do PVI-1

$$(11) \text{ PVI-1: } \underbrace{\begin{cases} \frac{dy(t)}{dt} = \frac{2}{3}y(t) = \mathcal{F}(S_i, t_i) \\ y(0) = 2 \end{cases}}_{\text{PVI transformado}}$$

Obtenção da sequência de estados discretos com  $\Delta t = 0.5$  onde, neste caso,  $S(t) = y(t)$

$$\begin{aligned} \text{P 1.1: } & \begin{cases} \bar{S}_1 = S_0 + \Delta t \mathcal{F}(S_0, t_0) \Rightarrow \\ \bar{y}_1 = y_0 + \Delta t \overbrace{\left(\frac{2}{3}y_0\right)}^{\mathcal{F}(S_0, t_0)} = 2 + 0.5 \left(\frac{2}{3} \cdot 2\right) = 2 + \frac{2}{3} = \frac{8}{3} \approx 2.66667 \end{cases} \\ \text{P 1.2: } & \begin{cases} y_1 = y_0 + \Delta t \left[ \frac{1}{2} \left(\frac{2}{3}y_0\right) + \frac{1}{2} \left(\frac{2}{3}\bar{y}_1\right) \right] = 2 + 0.5 \left[ \frac{1}{2} \left(\frac{2}{3} \cdot 2\right) + \frac{1}{2} \left(\frac{2}{3} \cdot \frac{8}{3}\right) \right] = \frac{25}{9} \approx 2.77778 \\ y(0.5) = 2e^{\frac{2}{3} \cdot 0.5} \approx 2.79122 : \text{ Solução exata} \\ \text{Erro relativo: } e_2 = \frac{2.79122 - 2.77778}{2.79122} = 0.00482 \approx 0.482\% \end{cases} \end{aligned}$$

Esses dois subpassos representam o passo 1 que vai de  $t_0 = 0$  a  $t_1 = 0.5$ .

### 3.1.2. Aplicação do Método de Runge-Kutta de segunda ordem na solução do PVI-2

$$(12) \text{ PVI-2: } \begin{cases} \frac{dS(t)}{dt} = \mathcal{F}(S(t), t) \\ S(t_0) = S_0 \end{cases}, \text{ com } \frac{dS(t)}{dt} = \begin{pmatrix} \frac{dv(t)}{dt} \\ \frac{dy(t)}{dt} \end{pmatrix}, \mathcal{F}(S(t), t) = \begin{pmatrix} -g - \frac{k}{m}v(t) \\ v(t) \end{pmatrix} \text{ e}$$

$$S_0 = \begin{pmatrix} v_0 \\ y_0 \end{pmatrix} = \begin{pmatrix} 3 \\ 150 \end{pmatrix}.$$

Obtenção da sequência de estados discretos com  $\Delta t = 0.1$

$$\begin{aligned} \text{P 1.1: } & \begin{cases} \bar{S}_1 = S_0 + \Delta t \mathcal{F}(S_0, t_0) \Rightarrow \\ \begin{pmatrix} \bar{v}_1 \\ \bar{y}_1 \end{pmatrix} = \begin{pmatrix} v_0 \\ y_0 \end{pmatrix} + \Delta t \overbrace{\begin{pmatrix} -g - \frac{k}{m}v_0 \\ v_0 \end{pmatrix}}^{\mathcal{F}(S_0, t_0)} = \begin{pmatrix} 3 \\ 150 \end{pmatrix} + 0.1 \begin{pmatrix} -10 - \frac{0.5}{0.5} \cdot 3 \\ 3 \end{pmatrix} = \begin{pmatrix} 1.7 \\ 150.3 \end{pmatrix} \end{cases} \\ \text{P 1.2: } & \begin{cases} S_1 = S_0 + \Delta t \left[ \frac{1}{2} \mathcal{F}(S_0, t_0) + \frac{1}{2} \mathcal{F}(\bar{S}_1, t_1) \right] \Rightarrow \\ \begin{pmatrix} v_1 \\ y_1 \end{pmatrix} = \begin{pmatrix} v_0 \\ y_0 \end{pmatrix} + \Delta t \left[ \frac{1}{2} \overbrace{\begin{pmatrix} -g - \frac{k}{m}v_0 \\ v_0 \end{pmatrix}}^{\mathcal{F}(S_0, t_0)} + \frac{1}{2} \overbrace{\begin{pmatrix} -g - \frac{k}{m}\bar{v}_1 \\ \bar{v}_1 \end{pmatrix}}^{\mathcal{F}(\bar{S}_1, t_1)} \right] \\ \begin{pmatrix} v_1 \\ y_1 \end{pmatrix} = \begin{pmatrix} 3 \\ 150 \end{pmatrix} + 0.1 \left[ \frac{1}{2} \overbrace{\begin{pmatrix} -10 - \frac{0.5}{0.5} \cdot 3 \\ 3 \end{pmatrix}}^{\mathcal{F}(S_0, t_0)} + \frac{1}{2} \overbrace{\begin{pmatrix} -10 - \frac{0.5}{0.5} \cdot 1.7 \\ 1.7 \end{pmatrix}}^{\mathcal{F}(\bar{S}_1, t_1)} \right] \end{cases} \end{aligned}$$

$$P\ 1.2\ (\text{cont.}): \begin{cases} \begin{pmatrix} v_1 \\ y_1 \end{pmatrix} = \begin{pmatrix} 3 \\ 150 \end{pmatrix} + 0.1 \begin{bmatrix} -12.35 \\ 2.35 \end{bmatrix} = \begin{pmatrix} 1.765 \\ 150.235 \end{pmatrix} \\ S(0.1) = \begin{pmatrix} -10 + (13)e^{-(0.1)} \\ 150 - 10(0.1) - (13)(e^{-(0.1)} - 1) \end{pmatrix} \approx \begin{pmatrix} 1.763 \\ 150.3 \end{pmatrix} : \text{Solução exata} \\ \text{Erro relativo: } e_1 = \begin{pmatrix} -0.113\% \\ 0.043\% \end{pmatrix} \end{cases}$$

### 3.2 Método de Runge-Kutta de terceira ordem

Considere o PVI no formato (1)

$$(13) \quad \text{PVI: } \begin{cases} \frac{dS(t)}{dt} = \mathcal{F}(S(t), t) \\ S(t_0) = S_0 \end{cases}.$$

Mais uma vez, escreve-se

$$(14) \quad S_{i+1} = S_i + \int_{t_i}^{t_{i+1}} \mathcal{F}(S(t), t) dt.$$

Agora, a integral é calculada usando a Fórmula Fechada de Newton-Cotes com polinômio de substituição de grau 2. Essa fórmula é conhecida como fórmula de Simpson-1/3. Assim, a equação (14) pode ser reescrita como

$$(15) \quad S_{i+1} = S_i + \frac{\Delta t/2}{3} \left( \mathcal{F}(S_i, t_i) + 4\mathcal{F}(S_{i+1/2}, t_{i+1/2}) + \mathcal{F}(S_{i+1}, t_{i+1}) \right).$$

Novamente, há **dois termos desconhecidos** no lado direito da equação (15), e, portanto, a equação **não é explícita**. Para que se tenha uma equação explícita, resolve-se o passo em dois subpassos:

**P 1.1:** Estimativa dos estados  $S_{i+1/2} \approx S\left(t_i + \frac{\Delta t}{2}\right)$  e  $S_{i+1} \approx S(t_i + \Delta t)$

$$(16) \quad \bar{S}_{i+1/2} = S_i + \frac{\Delta t}{2} \mathcal{F}(S_i, t_i);$$

$$(17) \quad \bar{S}_{i+1} = S_i + \Delta t \mathcal{F}(S_i, t_i);$$

**P 1.2:** Atualização melhorada do estado  $S_{i+1}$

$$(18) \quad S_{i+1} = S_i + \Delta t \left( \frac{1}{6} \mathcal{F}(S_i, t_i) + \frac{4}{6} \mathcal{F}(\bar{S}_{i+1/2}, t_{i+1/2}) + \frac{1}{6} \mathcal{F}(\bar{S}_{i+1}, t_{i+1}) \right).$$

**Note que:**

- a estimativa de  $\bar{S}_{i+1}$  na equação (17) também poderia ter sido obtida da seguinte maneira

$$(19) \quad \bar{S}_{i+1} = \bar{S}_{i+1/2} + \frac{\Delta t}{2} \mathcal{F}(\bar{S}_{i+1/2}, t_{i+1/2}).$$

Em breve, será deduzida uma fórmula de Runge-Kutta de terceira ordem por outro processo.

- na equação (18), o termo  $\left( \frac{1}{6} \mathcal{F}(S_i, t_i) + \frac{4}{6} \mathcal{F}(\bar{S}_{i+1/2}, t_{i+1/2}) + \frac{1}{6} \mathcal{F}(\bar{S}_{i+1}, t_{i+1}) \right)$  é uma **média ponderada das tangentes** ao gráfico de  $S(t)$  calculadas em  $t_i$ ,  $t_i + \frac{\Delta t}{2}$  e  $t_i + \Delta t$ . Mais uma vez, é uma tentativa de usar o teorema do valor intermediário (estimativa da inclinação correta da corda que liga  $S_i$  e  $S_{i+1}$ ).

### 3.2.1. Aplicação do Método de Runge-Kutta de terceira ordem na solução do PVI-1

$$(20) \text{ PVI-1: } \underbrace{\begin{cases} \frac{dy(t)}{dt} = \frac{2}{3}y(t) = \mathcal{F}(S(t), t) \\ y(0) = 2 \end{cases}}_{\text{PVI transformado}}$$

Obtenção da sequência de estados discretos com  $\Delta t = 0.5$  onde, neste caso,  $S(t) = y(t)$

$$\text{P 1.1: } \begin{cases} \bar{y}_{0+1/2} = y_0 + \frac{\Delta t}{2} \overbrace{\left(\frac{2}{3}y_0\right)}^{\mathcal{F}(S_0, t_0)} = 2 + \frac{0.5}{2} \left(\frac{2}{3} \cdot 2\right) = 2 + \frac{1}{3} = \frac{7}{3} \approx 2.33333 \\ \bar{y}_{0+1} \stackrel{(17)}{\cong} y_0 + \Delta t \overbrace{\left(\frac{2}{3}y_0\right)}^{\mathcal{F}(S_0, t_0)} = 2 + 0.5 \left(\frac{2}{3} \cdot 2\right) = 2 + \frac{2}{3} = \frac{8}{3} \approx 2.66667 \\ \bar{y}_{0+1} \stackrel{(19)}{\cong} \bar{y}_{0+1/2} + \frac{\Delta t}{2} \overbrace{\left(\frac{2}{3}\bar{y}_{0+1/2}\right)}^{\mathcal{F}(S_{0+1/2}, t_{0+1/2})} = \frac{7}{3} + \frac{0.5}{2} \left(\frac{2}{3} \cdot \frac{7}{3}\right) = \frac{49}{18} \approx 2.72222 \end{cases}$$

$$\text{P 1.2: } \begin{cases} y_1 = y_0 + \Delta t \left[ \frac{1}{6} \left(\frac{2}{3}y_0\right) + \frac{4}{6} \left(\frac{2}{3}\bar{y}_{0+1/2}\right) + \frac{1}{6} \left(\frac{2}{3}\bar{y}_{0+1}\right) \right] \\ y_1 \stackrel{(17)}{\cong} 2 + 0.5 \left[ \frac{1}{6} \left(\frac{2}{3} \cdot 2\right) + \frac{4}{6} \left(\frac{2}{3} \cdot \frac{7}{3}\right) + \frac{1}{6} \left(\frac{2}{3} \cdot \frac{8}{3}\right) \right] = 2 + 0.5 \left[ \frac{14}{9} \right] = \frac{25}{9} \approx 2.77778 \\ y_1 \stackrel{(19)}{\cong} 2 + 0.5 \left[ \frac{1}{6} \left(\frac{2}{3} \cdot 2\right) + \frac{4}{6} \left(\frac{2}{3} \cdot \frac{7}{3}\right) + \frac{1}{6} \left(\frac{2}{3} \cdot \frac{49}{18}\right) \right] = 2 + 0.5 \left[ \frac{253}{162} \right] = \frac{901}{324} \approx 2.78086 \\ y(0.5) = 2e^{\frac{2}{3} \cdot 0.5} \approx 2.79122 : \text{ Solução exata} \\ \text{Erro relativo: } e_2 \stackrel{(17)}{\cong} \frac{2.79122 - 2.77778}{2.79122} = 0.00482 \approx 0.482\% \\ \text{Erro relativo: } e_2 \stackrel{(19)}{\cong} \frac{2.79122 - 2.78086}{2.79122} = 0.00371 \approx 0.371\% \end{cases}$$

Esses dois subpassos representam o passo 1 que vai de  $t_0 = 0$  a  $t_1 = 0.5$ .

Note que a estimativa de  $\bar{y}_{0+1}$  usando a equação (19) produziu um melhor resultado.

Tabela 1. Valores aproximados da solução exata  $y(10) = 1571.543988$  no tempo  $t = 10s$

$\Delta t$	$y_{aprox(17)}$	$erro_{rel(17)}$	$y_{aprox(19)}$	$erro_{rel(19)}$
0.1	1564.178296	0.46869%	1565.985957	0.35367%
0.01	1571.466770	0.00491%	1571.486042	0.00369%
0.001	1571.543213	4.94E-05%	1571.543407	3.70E-05%
0.0001	1571.543981	4.93E-07%	1571.543983	3.70E-07%

A Tabela 1 mostra que, quando  $\Delta t$  diminui, o erro relativo fica cada vez menor. O erro obtido com a utilização da estratégia de atualização (19) é um pouco melhor.

### 3.2.2. Aplicação do Método de Runge-Kutta de terceira ordem na solução do PVI-2

$$(21) \text{ PVI-2: } \begin{cases} \frac{dS(t)}{dt} = \mathcal{F}(S(t), t) \\ S(t_0) = S_0 \end{cases}, \text{ com } \frac{dS(t)}{dt} = \begin{pmatrix} \frac{dv(t)}{dt} \\ \frac{dy(t)}{dt} \end{pmatrix}, \mathcal{F}(S(t), t) = \begin{pmatrix} -g - \frac{k}{m} v(t) \\ v(t) \end{pmatrix} \text{ e}$$

$$S_0 = \begin{pmatrix} v_0 \\ y_0 \end{pmatrix} = \begin{pmatrix} 3 \\ 150 \end{pmatrix}.$$

Obtenção da sequência de estados discretos com  $\Delta t = 0.1$

$$\text{P 1.1: } \begin{cases} \bar{S}_{0+1/2} = S_0 + \frac{\Delta t}{2} \mathcal{F}(S_0, t_0) \Rightarrow \\ \begin{pmatrix} \bar{v}_{0+1/2} \\ \bar{y}_{0+1/2} \end{pmatrix} = \begin{pmatrix} v_0 \\ y_0 \end{pmatrix} + \frac{\Delta t}{2} \overbrace{\begin{pmatrix} -g - \frac{k}{m} v_0 \\ v_0 \end{pmatrix}}^{\mathcal{F}(S_0, t_0)} \Rightarrow \\ \begin{pmatrix} \bar{v}_{0+1/2} \\ \bar{y}_{0+1/2} \end{pmatrix} = \begin{pmatrix} 3 \\ 150 \end{pmatrix} + \frac{0.1}{2} \overbrace{\begin{pmatrix} -10 - \frac{0.5}{0.5} 3 \\ 3 \end{pmatrix}}^{\mathcal{F}(S_0, t_0)} = \begin{pmatrix} 2.35 \\ 150.15 \end{pmatrix} \\ \bar{S}_{0+1} = S_0 + \Delta t \mathcal{F}(S_0, t_0) \Rightarrow \\ \begin{pmatrix} \bar{v}_{0+1} \\ \bar{y}_{0+1} \end{pmatrix} = \begin{pmatrix} v_0 \\ y_0 \end{pmatrix} + \Delta t \overbrace{\begin{pmatrix} -g - \frac{k}{m} v_0 \\ v_0 \end{pmatrix}}^{\mathcal{F}(S_0, t_0)} \Rightarrow \\ \begin{pmatrix} \bar{v}_1 \\ \bar{y}_1 \end{pmatrix} = \begin{pmatrix} 3 \\ 150 \end{pmatrix} + 0.1 \overbrace{\begin{pmatrix} -10 - \frac{0.5}{0.5} 3 \\ 3 \end{pmatrix}}^{\mathcal{F}(S_0, t_0)} = \begin{pmatrix} 1.7 \\ 150.3 \end{pmatrix} \end{cases}$$

$$\text{P 1.2: } \begin{cases} S_1 = S_0 + \Delta t \left[ \frac{1}{6} (\mathcal{F}(S_0, t_0)) + \frac{4}{6} (\mathcal{F}(\bar{S}_{1/2}, t_{1/2})) + \frac{1}{6} (\mathcal{F}(\bar{S}_1, t_1)) \right] \\ \begin{pmatrix} v_1 \\ y_1 \end{pmatrix} \stackrel{(17)}{\cong} \begin{pmatrix} 3 \\ 150 \end{pmatrix} + 0.1 \left[ \frac{1}{6} \begin{pmatrix} -13 \\ 3 \end{pmatrix} + \frac{4}{6} \begin{pmatrix} -10 - 2.35 \\ 2.35 \end{pmatrix} + \frac{1}{6} \begin{pmatrix} -10 - 1.7 \\ 1.7 \end{pmatrix} \right] \\ \begin{pmatrix} v_1 \\ y_1 \end{pmatrix} \stackrel{(17)}{\cong} \begin{pmatrix} 3 \\ 150 \end{pmatrix} + 0.1 \left[ \frac{1}{6} \begin{pmatrix} -13 \\ 3 \end{pmatrix} + \frac{4}{6} \begin{pmatrix} -12.35 \\ 2.35 \end{pmatrix} + \frac{1}{6} \begin{pmatrix} -11.7 \\ 1.7 \end{pmatrix} \right] = \begin{pmatrix} 1.765 \\ 150.235 \end{pmatrix} \\ S(0.1) = \begin{pmatrix} 1.762886 \\ 150.237114 \end{pmatrix} : \text{ Solução exata} \\ \text{Erro relativo: } e_2 \stackrel{(17)}{\cong} \begin{pmatrix} -0.001199 \\ 0.000014 \end{pmatrix} \approx \begin{pmatrix} -0.1199\% \\ 0.0014\% \end{pmatrix} \end{cases}$$

O método aproximado conseguiu fazer uma boa previsão da velocidade de chegada no mar ( $-10 \text{ m/s}$ ) e o tempo total até a queda no mar ( $16.3\text{s}$ ).

### 3.2.3. Método de Runge-Kutta de terceira ordem (outra forma de dedução)

A forma geral dos métodos de Runge-Kutta de ordem  $k$  é

$$(22) \quad \mathbf{S}_{i+1} = S_i + \Delta t (w_1 \mathcal{F}_1(\quad) + \cdots + w_k \mathcal{F}_k(\quad))$$

Note que a equação (22) está no **formato do teorema do valor intermediário**, onde o termo entre parênteses representa uma tentativa de aproximar a inclinação da corda que liga os estados  $S_i$  e  $\mathbf{S}_{i+1}$ . Essa inclinação é calculada como uma média ponderada de estimativas de inclinações calculadas em pontos do intervalo  $[t_i, t_{i+1}]$ .

Há duas perguntas que são respondidas durante a dedução da equação (22):

1. Quais são os valores dos pesos  $w_j, j = 1, \dots, k$ ?
2. Como calcular os  $\mathcal{F}_j, j = 1, \dots, k$ ?

Para responder a essas perguntas serão necessárias algumas premissas e várias expansões em Série de Taylor. No caso em questão, Runge-Kutta de terceira ordem,  $k = 3$ .

**Premissas:**

$$(23) \quad \begin{cases} \mathcal{F}_1 = \mathcal{F}(S_i, t_i) \\ \mathcal{F}_2 = \mathcal{F}(S_i + a_2 \Delta t \mathcal{F}_1, t_i + b_2 \Delta t) \\ \mathcal{F}_3 = \mathcal{F}(S_i + a_{31} \Delta t \mathcal{F}_1 + a_{32} \Delta t \mathcal{F}_2, t_i + b_3 \Delta t) \\ w_1 + w_2 + w_3 = 1 \end{cases}$$

**Expansões de Taylor:**

$$(24) \quad \begin{aligned} \mathbf{S}_{i+1} &= S_i + S'_i \Delta t + \frac{1}{2!} S''_i (\Delta t)^2 + \frac{1}{3!} S'''_i (\Delta t)^3 + O((\Delta t)^4) \\ \mathbf{S}_{i+1} &\approx S_i + \Delta t \left( S'_i + \frac{1}{2} S''_i \Delta t + \frac{1}{6} S'''_i (\Delta t)^2 \right). \end{aligned}$$

Pela definição do PVI,  $\frac{dS(t)}{dt} = \mathcal{F}(S(t), t) = S'(t)$ . Assim,

$$(25) \quad S'_i = \mathcal{F}(S_i, t_i).$$

A derivada da função  $\mathcal{F}(S(t), t)$  é dada por

$$(26) \quad S''_i = \frac{d}{dt} (\mathcal{F}(S, t)) \Big|_i = \frac{\partial \mathcal{F}(S_i, t_i)}{\partial t} + \frac{\partial \mathcal{F}(S_i, t_i)}{\partial S} \frac{\partial S(t_i)}{\partial t} = \frac{\partial \mathcal{F}(S_i, t_i)}{\partial t} + \frac{\partial \mathcal{F}(S_i, t_i)}{\partial S} \mathcal{F}(S_i, t_i),$$

e a derivada terceira

$$(27) \quad \begin{aligned} S'''_i &= \frac{d}{dt} \left( \frac{\partial \mathcal{F}(S, t)}{\partial t} + \frac{\partial \mathcal{F}(S, t)}{\partial S} \mathcal{F}(S, t) \right) \Big|_i \\ &= \frac{\partial^2 \mathcal{F}(S_i, t_i)}{\partial t^2} + \frac{\partial^2 \mathcal{F}(S_i, t_i)}{\partial t \partial S} \mathcal{F}(S_i, t_i) \\ &\quad + \frac{\partial^2 \mathcal{F}(S_i, t_i)}{\partial S \partial t} \mathcal{F}(S_i, t_i) + \frac{\partial^2 \mathcal{F}(S_i, t_i)}{\partial S^2} \mathcal{F}(S_i, t_i) \mathcal{F}(S_i, t_i) \\ &\quad + \frac{\partial \mathcal{F}(S_i, t_i)}{\partial S} \left( \frac{\partial \mathcal{F}(S_i, t_i)}{\partial t} + \frac{\partial \mathcal{F}(S_i, t_i)}{\partial S} \mathcal{F}(S_i, t_i) \right). \end{aligned}$$

A expansão em série de Taylor de uma função de duas variáveis é escrita até os termos de segunda ordem como

$$(28) \quad f(x + dx, y + dy) \approx f(x, y) + \left[ \frac{\partial f}{\partial x} \quad \frac{\partial f}{\partial y} \right] \begin{pmatrix} dx \\ dy \end{pmatrix} + \begin{bmatrix} dx & dy \end{bmatrix} \begin{bmatrix} \frac{\partial^2 f}{\partial x^2} & \frac{\partial^2 f}{\partial x \partial y} \\ \frac{\partial^2 f}{\partial y \partial x} & \frac{\partial^2 f}{\partial y^2} \end{bmatrix} \begin{pmatrix} dx \\ dy \end{pmatrix}.$$

Assim, as expansões em série de Taylor das funções  $\mathcal{F}(S_i + a_2 \Delta t \mathcal{F}_1, t_i + b_2 \Delta t)$  e  $\mathcal{F}(S_i + a_{31} \Delta t \mathcal{F}_1 + a_{32} \Delta t \mathcal{F}_2, t_i + b_3 \Delta t)$  podem ser escritas como

$$(29) \quad \begin{aligned} \mathcal{F}_2 &= \mathcal{F}(S_i + a_{21} \Delta t \mathcal{F}_1, t_i + b_2 \Delta t) \\ &= \mathcal{F}(S_i, t_i) + \left[ \frac{\partial \mathcal{F}(S_i, t_i)}{\partial S} \quad \frac{\partial \mathcal{F}(S_i, t_i)}{\partial t} \right] \begin{pmatrix} a_{21} \Delta t \mathcal{F}_1 \\ b_2 \Delta t \end{pmatrix} \\ &\quad + \begin{bmatrix} a_{21} \Delta t \mathcal{F}_1 & b_2 \Delta t \end{bmatrix} \begin{bmatrix} \frac{\partial^2 \mathcal{F}(S_i, t_i)}{\partial S^2} & \frac{\partial^2 \mathcal{F}(S_i, t_i)}{\partial S \partial t} \\ \frac{\partial^2 \mathcal{F}(S_i, t_i)}{\partial t \partial S} & \frac{\partial^2 \mathcal{F}(S_i, t_i)}{\partial t^2} \end{bmatrix} \begin{pmatrix} a_{21} \Delta t \mathcal{F}_1 \\ b_2 \Delta t \end{pmatrix} \end{aligned}$$

e

$$(30) \quad \begin{aligned} \mathcal{F}_3 &= \mathcal{F}(S_i + a_{31} \Delta t \mathcal{F}_1 + a_{32} \Delta t \mathcal{F}_2, t_i + b_3 \Delta t) \\ &= \mathcal{F}(S_i, t_i) + \left[ \frac{\partial \mathcal{F}(S_i, t_i)}{\partial S} \quad \frac{\partial \mathcal{F}(S_i, t_i)}{\partial t} \right] \begin{pmatrix} a_{31} \Delta t \mathcal{F}_1 + a_{32} \Delta t \mathcal{F}_2 \\ b_3 \Delta t \end{pmatrix} \\ &\quad + \begin{bmatrix} (a_{31} \Delta t \mathcal{F}_1 + a_{32} \Delta t \mathcal{F}_2) & b_3 \Delta t \end{bmatrix} \begin{bmatrix} \frac{\partial^2 \mathcal{F}(S_i, t_i)}{\partial S^2} & \frac{\partial^2 \mathcal{F}(S_i, t_i)}{\partial S \partial t} \\ \frac{\partial^2 \mathcal{F}(S_i, t_i)}{\partial t \partial S} & \frac{\partial^2 \mathcal{F}(S_i, t_i)}{\partial t^2} \end{bmatrix} \begin{pmatrix} a_{31} \Delta t \mathcal{F}_1 + a_{32} \Delta t \mathcal{F}_2 \\ b_3 \Delta t \end{pmatrix}. \end{aligned}$$

Substituindo-se as equações (25), (26) e (27) na equação (24), obtém-se

$$(31) \quad \begin{aligned} \mathbf{S}_{i+1} &= S_i \\ &\quad + \Delta t \left\{ \mathcal{F}(S_i, t_i) + \frac{1}{2} \left( \frac{\partial \mathcal{F}(S_i, t_i)}{\partial t} + \frac{\partial \mathcal{F}(S_i, t_i)}{\partial S} \mathcal{F}(S_i, t_i) \right) \Delta t \right. \\ &\quad + \frac{1}{6} \left[ \frac{\partial^2 \mathcal{F}(S_i, t_i)}{\partial t^2} + \frac{\partial^2 \mathcal{F}(S_i, t_i)}{\partial t \partial S} \mathcal{F}(S_i, t_i) \right. \\ &\quad + \frac{\partial^2 \mathcal{F}(S_i, t_i)}{\partial S \partial t} \mathcal{F}(S_i, t_i) + \frac{\partial^2 \mathcal{F}(S_i, t_i)}{\partial S^2} \mathcal{F}(S_i, t_i) \mathcal{F}(S_i, t_i) \\ &\quad \left. \left. + \frac{\partial \mathcal{F}(S_i, t_i)}{\partial S} \left( \frac{\partial \mathcal{F}(S_i, t_i)}{\partial t} + \frac{\partial \mathcal{F}(S_i, t_i)}{\partial S} \mathcal{F}(S_i, t_i) \right) \right] (\Delta t)^2 \right\}. \end{aligned}$$

A expansão de  $\mathbf{S}_{i+1}$  em série de Taylor apresentada em (31) será comparada com a expressão das fórmulas de Runge-Kutta quando as equações (29) e (30) são substituídas em (23) e (22).



Assim

(32)

$$\mathbf{S}_{i+1} = S_i + \Delta t (w_1 \mathcal{F}_1(\quad) + w_2 \mathcal{F}_2(\quad) + w_3 \mathcal{F}_3(\quad))$$

$$\begin{aligned} \mathbf{S}_{i+1} = & S_i + \Delta t \left\{ w_1 \mathcal{F}(S_i, t_i) \right. \\ & + w_2 \left( \mathcal{F}(S_i, t_i) + \left[ \frac{\partial \mathcal{F}(S_i, t_i)}{\partial S} \quad \frac{\partial \mathcal{F}(S_i, t_i)}{\partial t} \right] \begin{pmatrix} a_{21} \Delta t \mathcal{F}(S_i, t_i) \\ b_2 \Delta t \end{pmatrix} \right. \\ & + \left. \left[ a_{21} \Delta t \mathcal{F}(S_i, t_i) \quad b_2 \Delta t \right] \begin{bmatrix} \frac{\partial^2 \mathcal{F}(S_i, t_i)}{\partial S^2} & \frac{\partial^2 \mathcal{F}(S_i, t_i)}{\partial S \partial t} \\ \frac{\partial^2 \mathcal{F}(S_i, t_i)}{\partial t \partial S} & \frac{\partial^2 \mathcal{F}(S_i, t_i)}{\partial t^2} \end{bmatrix} \begin{pmatrix} a_{21} \Delta t \mathcal{F}(S_i, t_i) \\ b_2 \Delta t \end{pmatrix} \right) \\ & + w_3 \left( \mathcal{F}(S_i, t_i) + \left[ \frac{\partial \mathcal{F}(S_i, t_i)}{\partial S} \quad \frac{\partial \mathcal{F}(S_i, t_i)}{\partial t} \right] \begin{pmatrix} a_{31} \Delta t \mathcal{F}_1 + a_{32} \Delta t \mathcal{F}_2 \\ b_3 \Delta t \end{pmatrix} \right. \\ & + \left. \left[ (a_{31} \Delta t \mathcal{F}_1 + a_{32} \Delta t \mathcal{F}_2) \quad b_3 \Delta t \right] \begin{bmatrix} \frac{\partial^2 \mathcal{F}(S_i, t_i)}{\partial S^2} & \frac{\partial^2 \mathcal{F}(S_i, t_i)}{\partial S \partial t} \\ \frac{\partial^2 \mathcal{F}(S_i, t_i)}{\partial t \partial S} & \frac{\partial^2 \mathcal{F}(S_i, t_i)}{\partial t^2} \end{bmatrix} \begin{pmatrix} a_{31} \Delta t \mathcal{F}_1 + a_{32} \Delta t \mathcal{F}_2 \\ b_3 \Delta t \end{pmatrix} \right) \left. \right\}. \end{aligned}$$

Reorganizando-se a equação (32) e desprezando-se os termos com  $(\Delta t)^3$  dentro das chaves  $\{\}$ , obtém-se

$$\begin{aligned} \mathbf{S}_{i+1} = & S_i + \Delta t \{ (w_1 + w_2 + w_3) \mathcal{F}(S_i, t_i) \\ & + \left[ \frac{\partial \mathcal{F}(S_i, t_i)}{\partial S} \quad \frac{\partial \mathcal{F}(S_i, t_i)}{\partial t} \right] \begin{pmatrix} (w_2 a_{21} + w_3 (a_{31} + a_{32})) \mathcal{F}(S_i, t_i) \\ (w_2 b_2 + w_3 b_3) \end{pmatrix} \Delta t \\ & + w_2 \left( (a_{21})^2 (\mathcal{F}(S_i, t_i))^2 \frac{\partial^2 \mathcal{F}(S_i, t_i)}{\partial S^2} + 2 a_{21} b_2 \mathcal{F}(S_i, t_i) \frac{\partial^2 \mathcal{F}(S_i, t_i)}{\partial S \partial t} \right. \\ (33) \quad & + \left. (b_2)^2 \frac{\partial^2 \mathcal{F}(S_i, t_i)}{\partial t^2} \right) (\Delta t)^2 \\ & + w_3 \left( a_{21} a_{32} \mathcal{F}(S_i, t_i) \left( \frac{\partial \mathcal{F}(S_i, t_i)}{\partial S} \right)^2 + b_2 a_{32} \frac{\partial \mathcal{F}(S_i, t_i)}{\partial S} \frac{\partial \mathcal{F}(S_i, t_i)}{\partial t} \right. \\ & + \left. ((a_{31})^2 + (a_{32})^2) (\mathcal{F}(S_i, t_i))^2 \frac{\partial^2 \mathcal{F}(S_i, t_i)}{\partial S^2} + 2 (a_{31} + a_{32}) b_3 \mathcal{F}(S_i, t_i) \frac{\partial^2 \mathcal{F}(S_i, t_i)}{\partial S \partial t} \right. \\ & + \left. (b_3)^2 \frac{\partial^2 \mathcal{F}(S_i, t_i)}{\partial t^2} \right) (\Delta t)^2 \}. \end{aligned}$$

Comparando os termos semelhantes das equações (31) e (33), tem-se

$$(34) \quad w_1 + w_2 + w_3 = 1$$

$$(35) \quad w_2 a_{21} + w_3 (a_{31} + a_{32}) = \frac{1}{2}$$

$$(36) \quad w_2 b_2 + w_3 b_3 = \frac{1}{2}$$

$$(37) \quad w_2 (b_2)^2 + w_3 (b_3)^2 = \frac{1}{6}$$

$$(38) \quad w_2 a_{21} b_2 + w_3 (a_{31} + a_{32}) b_3 = \frac{1}{6}$$

$$(39) \quad w_2 (a_{21})^2 + w_3 ((a_{31})^2 + (a_{32})^2) = \frac{1}{6}$$

$$(40) \quad w_3 a_{32} b_2 = \frac{1}{6}$$

$$(41) \quad w_3 a_{32} a_{21} = \frac{1}{6}$$

Os pesos são determinados pela fórmula de Simpson 1/3. Assim

$$(42) \quad w_1 = w_3 = \frac{1}{6} \text{ e } w_2 = \frac{4}{6}.$$

Usando (42), pode-se calcular  $a_2 \frac{eq.40}{w_3} - b_2 \frac{eq.41}{w_3}$ , obtendo-se

$$(43) \quad a_{21} = b_2.$$

Substituindo-se (42) em (40), obtém-se

$$(44) \quad a_{32} = 1/a_{21}.$$

Usando (42) e (44) em (35), obtém-se

$$(45) \quad a_{31} = 3 - 4a_{21} - a_{32}.$$

Igualando os lados esquerdos das equações (35) e (36) tem-se

$$(46) \quad b_3 = a_{31} + a_{32} = 3 - 4a_{21}$$

Com essas relações, vários métodos de Runge-Kutta de terceira ordem podem ser propostos. O mais trivial é aquele em que  $a_{21} = b_2 = \frac{1}{2}$ , e, via relações (44) a (46),  $a_{32} = 2$ ,  $a_{31} = -1$  e  $b_3 = 1$ . Assim,

**P 1.1:** Estimativa dos estados  $S_{i+1/2} \approx S\left(t_i + \frac{\Delta t}{2}\right)$  e  $S_{i+1} \approx S(t_i + \Delta t)$

$$(47) \quad \mathcal{F}_1 = \mathcal{F}(S_i, t_i)$$

$$(48) \quad \bar{S}_{i+1/2} = S_i + \frac{\Delta t}{2} \mathcal{F}(S_i, t_i) = S_i + \frac{\Delta t}{2} \mathcal{F}_1;$$

$$(49) \quad \mathcal{F}_2 = \mathcal{F}\left(\bar{S}_{i+1/2}, t_i + \frac{\Delta t}{2}\right);$$

$$(50) \quad \bar{S}_{i+1} = S_i + \Delta t \left( -\mathcal{F}(S_i, t_i) + 2\mathcal{F}\left(\bar{S}_{i+1/2}, t_i + \frac{\Delta t}{2}\right) \right);$$

$$(51) \quad \mathcal{F}_3 = \mathcal{F}(\bar{S}_{i+1}, t_i + \Delta t)$$

**P 1.2:** Atualização melhorada do estado  $S_{i+1}$

$$(52) \quad S_{i+1} = S_i + \Delta t \left( \frac{1}{6} \mathcal{F}_1 + \frac{4}{6} \mathcal{F}_2 + \frac{1}{6} \mathcal{F}_3 \right).$$

### Tarefa 17: Runge-Kutta de terceira ordem

Note que a solução exata do PVI-2 com os valores mostrados na Figura 4 indicam uma queda livre parecida com a de um paraquedista.

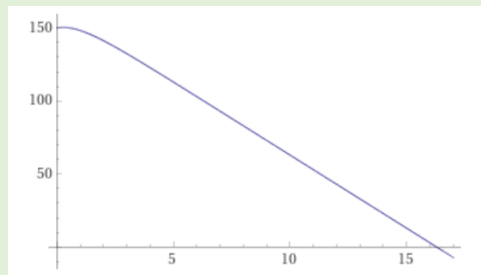


Figura 4. Solução exata  $y(t)$  do PVI-2 com:  $v_0 = 3\text{m/s}$ ,  $y_0 = 150\text{m}$ ,  $k = 0.5\text{kg/s}$ ,  $m = 0.5\text{kg}$ .

1) Modifique o PVI-2 para os seguintes valores:

$t_0 = 0\text{s}$ ,  $v_0 = 5\text{m/s}$ ,  $y_0 = 200\text{m}$ ,  $k = 0.25\text{kg/s}$ ,  $m = 2\text{kg}$ .

2) Obtenha a solução aproximada com os valores de  $\Delta t$  mostrados na Tabela 1, usando o Método de Runge-Kutta das equações (47) a (52).

3) Observando as soluções associadas a cada  $\Delta t$  mostrados na Tabela 1, obtenha as seguintes informações:

- a) a altura máxima da trajetória,  $y_{\max}$ ;
- b) o tempo decorrido do início do lançamento até atingir a altura máxima,  $t_{\max}$ ;
- c) o tempo total até a queda no mar,  $t_{\text{total}}$ ; e
- d) a velocidade no momento do impacto com o mar.